

05,12

Топологические зоны в металле с геликоидальным магнитным порядком

© Ю.Б. Кудасов

Саровский физико-технический институт, Национальный исследовательский ядерный университет „МИФИ“, Саров, Россия

Российский федеральный ядерный центр —

Всероссийский научно-исследовательский институт экспериментальной физики, Саров, Россия

E-mail: yu_kudasov@yahoo.com

Поступила в Редакцию 17 апреля 2023 г.

В окончательной редакции 17 апреля 2023 г.

Принята к публикации 11 мая 2023 г.

Обсуждаются особенности симметрии и топологии зонной структуры в геликоидальном периодическом магнитном поле. Два характерных периода трансляции, определяемые теоремой Блоха и ее обобщенным вариантом (трансляция с поворотом), могут приводить к топологически нетривиальным дисперсионным кривым. В приближении сильной связи исследованы топологические свойства зонной структуры в эффективном магнитном поле, соответствующем 120° -упорядочению в одномерной системе. Рассмотрена также 2D-модель гексагональных слоев палладия в PdCrO_2 в приближении почти свободных электронов. Эффективное поле, соответствующее 120° магнитному упорядочению диэлектрических прослоек CrO_2 , приводит к необычной спиновой структуре поверхности Ферми, которая, в свою очередь, сильно подавляет рассеяние подвижных носителей с перебросом и приводит к аномалиям транспортных свойств.

Ключевые слова: геликоидальное упорядочение, симметрия обращения времени, зонная структура, рассеяние носителей, металлические дельтафосфиты, PdCrO_3 .

DOI: 10.21883/FTT.2023.06.55647.04H

1. Введение

Дельтафосфиты — это соединения с общей формулой ABO_2 , которые имеют слоистую структуру с чередующимися гексагональными слоями ионов A и BO_2 . Эти соединения на основе 3d-металлов ($B = \text{Cr, Fe, Co}$) демонстрируют разнообразные магнитные и транспортные свойства, которые привлекают внимание теоретиков и экспериментаторов. Так, геометрическая фрустрация в CuFeO_2 приводит к возникновению нескольких типов магнитного упорядочения, которые сменяют друг друга в магнитном поле [1], а частичное замещение ионов Fe^{3+} на Al^{3+} приводит к мультиферроидному поведению [2]. Соединения PdCoO_2 , PtCoO_2 , PdCrO_2 и т.д. образуют группу металлических дельтафосфитов. Электропроводность этих веществ является рекордной для металлических оксидов и оказывается сравнимой со значениями, характерными для элементарных металлов, таких как медь и серебро [3]. При этом прослойки CoO_2 и CrO_2 являются диэлектрическими, а проводимость обеспечивается только слоями платины или палладия [4,5], что приводит к аномальным величинам длины свободного пробега. Например, в PdCoO_2 при комнатной температуре она составляет 700 \AA , а при низких температурах достигает $20 \mu\text{m}$ [3]. Это предполагает необычный механизм электронного транспорта в металлических дельтафосфитах; в частности, в них наблюдался переход к гидродинамическому режиму

движения электронов проводимости [6]. В последнее время проводится активный поиск механизма, ответственного за аномальные транспортные свойства этих соединений [7].

Среди металлических дельтафосфитов с аномальной проводимостью выделяется PdCrO_2 — единственное соединение, в котором возникает дальний магнитный порядок ($T_N = 38 \text{ K}$) [8]. Магнитная структура оказывается крайне сложной: ионы хрома в диэлектрических прослойках CrO_2 формируют 120° -е упорядочение с чередующейся киральностью в соседних прослойках. Всего магнитная структура состоит из 18 подрешеток [9]. Переход в магнитоупорядоченное состояние приводит к резкому падению удельного сопротивления. Следует отметить, что PdCrO_2 является крайне редким примером соединения, демонстрирующего нетрадиционный аномальный эффект Холла при нулевой полной киральности [10]. Исследования магнетотермоэдс показали, что ближний магнитный порядок в PdCrO_2 сохраняется вплоть до комнатной температуры и выше [11].

Движение частицы спина $1/2$ в геликоидальном магнитном поле изучается довольно давно [12–17]. В частности, известно точное решение одномерной задачи для однородного геликоидального поля [12]. В настоящее время интерес к гелимагнетикам возродился благодаря обнаружению в них особенностей электронного транспорта [15] и возможности токового управления маг-

нитной структурой [16]. Обзор современного состояния теоретических и экспериментальных исследований одноосных гелимагнетиков представлен в [17]. В настоящей работе мы исследуем электронную структуру в геликоидальном магнитном поле с симметрией и топологической точек зрения.

2. Теоретические предпосылки

Рассмотрим кристаллическую решетку, описываемую операциями симметрии $\{\alpha_{\mathbf{R}}|\mathbf{t}\}$: $\alpha_{\mathbf{R}}$ — поворота вокруг оси \mathbf{R} на угол α и трансляции на вектор \mathbf{t} . Предположим, что в кристалле существует также геликоидальное упорядочение спинов. Будем считать, что спины лежат в одной плоскости, причем в отсутствие спин-орбитального взаимодействия выбор спиновой плоскости произволен, т.е. он не влияет на вид дисперсионных кривых электронов. Будем также считать, что при трансляции на вектор \mathbf{t} спины поворачиваются на угол $\alpha_S(t)$, и магнитная структура является соизмеримой, т.е. вектор трансляций магнитной структуры \mathbf{T}_m кратен вектору \mathbf{t} . Симметрия такой геликоидальной структуры может быть описана спиновой пространственной группой с элементами $\{\alpha_S|\alpha_{\mathbf{R}}|\mathbf{t}\}$ [18,19]. Таким образом, вдоль направления геликоида у нас имеется два кратных периода трансляций. Для трансляции T_m выполняется теорема Блоха, а для комбинированной операции $\{\alpha_{\mathbf{R}}|\mathbf{t}\}$ справедлива обобщенная теорема Блоха [19]. Как мы увидим ниже, это приводит к нетривиальным следствиям для топологической структуры зон проводимости. Заметим, что в работе [12] был найден вид оператора, подобного оператору импульса, коммутирующего с гамильтонианом и определяющего квантовые числа ветвей спектра в геликоидальном поле. Отметим, однако, что такой подход возможен только для однородной геликоида, где существует непрерывное преобразование симметрии (трансляция с поворотом). Подход с применением спиновой пространственной группы представляется более подходящим для исследования реальных систем.

В последние десятилетия активно изучаются топологические свойства зонной структуры [20]. Возникновение топологических свойств зонной структуры кристаллических веществ связано с наличием периодических граничных условий на границах зоны Бриллюэна. Так, для одномерной системы точки с волновыми векторами $\mathbf{k} = \pi$ и $\mathbf{k} = -\pi$ эквивалентны, т.е. дисперсионные кривые соответствуют замкнутым линиям на цилиндре. Для двумерных систем периодические граничные условия аналогичным образом приводят к дисперсионным поверхностям на торе [21]. Основные усилия сосредоточены на исследованиях топологических изоляторов и на краевых состояниях в этих системах [20].

3. Симметрия обращения времени и топология зонной структуры в геликоидальном магнитном поле

Уравнение движения свободных электронов в геликоидальном магнитном поле имеет необычные свойства по отношению к операции обращения времени. Запишем гамильтониан для частицы (электрона) спина $1/2$, движущейся в скалярном периодическом потенциале V и периодическом магнитном поле $\mathbf{h}(\mathbf{r})$ в виде

$$H = \frac{1}{2m} (\hat{\mathbf{p}} - e\mathbf{A})^2 + V(\mathbf{r}) - \mathbf{h}(\mathbf{r})\hat{\sigma}, \quad (1)$$

где $\hat{\mathbf{p}}$ — оператор импульса, $\hat{\sigma}$ — матрицы Паули, \mathbf{h} и \mathbf{A} — индукция и векторный потенциал магнитного поля ($\mathbf{h} = \text{rot } \mathbf{A}$). Период магнитного поля составляет $\mathbf{a}_m m$, т.е.

$$\mathbf{h}(\mathbf{r} + \mathbf{a}_m) = \mathbf{h}(\mathbf{r}), \quad (2)$$

а потенциал $V(\mathbf{r})$ является трансляционно-инвариантным относительно сдвига на период $\mathbf{a}_m/2$. Примером периодического магнитного поля может быть геликоида, ориентированная вдоль оси z . Распределение магнитного поля можно представить как

$$h_x = h_0 \cos(Kz), \quad h_y = h_0 \cos(Kz), \quad (3)$$

где h_0 и $K = 2\pi/a_m$ — константы. Для периодического магнитного поля $\mathbf{h}(\mathbf{r})$ всегда возможен выбор векторного потенциала также в виде периодической функции.

Общий подход к изучению симметрии относительно операции обращения времени в магнитном поле заключается в комбинировании операторов обращения времени $\hat{\theta}$ и некоторой операции, изменяющей направление магнитного поля на противоположное [22]. В однородном магнитном поле, ориентированном вдоль оси z , система симметрична по отношению к комбинации $\hat{\theta}$ отражение в плоскости, проходящей ось z или вращение на 180° вокруг оси, перпендикулярной оси z [3]. Для периодического геликоидального поля (2) и (3) единственной операцией, приводящей к $\mathbf{h} \rightarrow -\mathbf{h}$, кроме поворота вокруг оси z является трансляция вдоль оси z на половину периода спирали ($\hat{T}_{1/2}$). Таким образом, комбинированный оператор $\hat{\theta}\hat{T}_{1/2}\hat{\theta}$ является преобразованием симметрии. Это, в свою очередь, должно приводить к условию [23]:

$$\varepsilon_{\mathbf{k}, \langle \sigma \rangle} = \varepsilon_{-\mathbf{k}, -\langle \sigma \rangle}, \quad (4)$$

где $\varepsilon_{\mathbf{k}, \langle \sigma \rangle}$ — энергия частицы с волновым вектором \mathbf{k} и средним значением спина $\langle \sigma \rangle$. Следует отметить, что в неколлинеарной структуре спин в общем случае не является хорошим квантовым числом, поэтому состояние характеризуется его средним значением.

4. Приближение сильной связи для одномерной цепочки

Простейшим примером геликоидальной магнитной структуры является одномерная цепочка одинаковых

атомов, в которой магнитное поле, действующее на частицу, поворачивается на 120° в некоторой плоскости при трансляции на один период цепочки. Когда спин-орбитальное взаимодействие отсутствует плоскость, в которой лежит магнитное поле, может быть выбрана произвольно, и в дальнейшем мы предполагаем, что это — плоскость xy . Такая цепочка имеет 3 подрешетки и в приближении сильной связи может быть описана следующим гамильтонианом:

$$H = - \sum_{i,\sigma} (a_i^+ b_{i\sigma} + b_{i\sigma}^+ c_{i\sigma} + c_{i\sigma}^+ a_{i+1\sigma} + \text{H.c.}) + \sum_i (\hat{h}_{ia} + \hat{h}_{ib} + \hat{h}_{ic}), \quad (5)$$

где $a_{i\sigma}^+, b_{i\sigma}^+, c_{i\sigma}^+$ — операторы рождения электрона спина σ на подрешетках a, b и c , $\hat{h}_{a(b,c)}$ — операторы вида $\hat{h}h_{ia} = \sum \mathbf{h}_a a_{i\alpha}^+ \boldsymbol{\sigma}_{\alpha\beta} a_{i\beta}$. Здесь $\mathbf{h}_{a(b,c)}$ — магнитное поле на подрешетках, $\boldsymbol{\sigma}_{\alpha\beta}$ — матрицы Паули, α, β — спиновые индексы, H.c. — эрмитово сопряжение.

Гамильтониан (5) может быть диагонализирован точно. Полученные дисперсионные кривые показаны на рис. 1 для случая $|\mathbf{h}_{a(b,c)}| = 0.2$. Видно, что в пределах магнитной зоны Бриллюэна (от $-\pi$ до π) они по отдельности не являются периодическими. Дисперсионная кривая выбирается так, чтобы состояние изменялось непрерывно в пределах зоны Бриллюэна. Однако в целом структура из 3 зон оказывается периодической, т.е. теорема Блоха выполняется, но происходит перестановка номеров зон при смещении зонной структуры на вектор обратной решетки.

Согласно обобщенной теореме Блоха [19], наименьшая приведенная трансляция определяется вектором \mathbf{t}

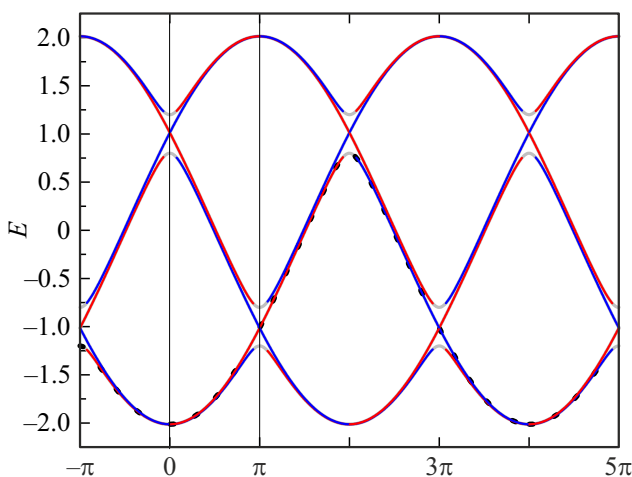


Рис. 1. Дисперсионные кривые для модели (1) в магнитной (от $-\pi$ до π) и расширенной зонах Бриллюэна. Синим и красным цветом показаны состояния с преимущественно спином вверх и спином вниз ($\langle S \rangle \approx \pm 1/2$) соответственно. Серым показаны участки, где происходит сильное перемешивание спиновых состояний ($\langle S \rangle \approx \pm 1/4$). Точками показана дисперсионная кривая в пределах расширенной зоны Бриллюэна.

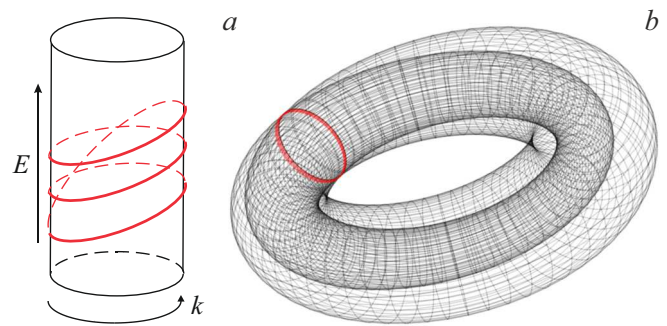


Рис. 2. Схематичное изображение: a — дисперсионной кривой для одномерной модели на цилиндре, b — примера дисперсионной поверхности на торе (2D-модель) с самопересечением.

(с поворотом спиновой системы на угол α_S). Тогда можно построить уменьшенную магнитную элементарную ячейку (в отличие от обычной магнитной ячейки, соответствующую трансляции \mathbf{T}_m) и соответствующую расширенную зону Бриллюэна [5], которая в данном случае совпадает с кристаллохимической. В пределах расширенной магнитной зоны Бриллюэна дисперсионные кривые являются периодическими (отмечена точками на рис. 1). Таким образом, мы получаем два периода для зонной структуры. Полученный результат проиллюстрирован на рис. 2, a . Если магнитную зону Бриллюэна представить на цилиндрической поверхности, то дисперсионная кривая делает три оборота, что соответствует периоду расширенной зоны Бриллюэна.

В области энергий на рис. 1 от -1.4 до -0.6 симметричные относительно Γ -точки ветви имеют противоположное значение среднего спина. В приближении почти свободных электронов в одномерном случае получаются аналогичные решения [23].

5. 2D-модель металлического гексагонального слоя в PdCrO_2

В PdCrO_2 проводимость определяется двумерными гексагональными слоями палладия, а 120° -е магнитное упорядочение в прослойках CrO_2 создает эффективное поле с геликоидальной структурой. Зададим модельное 2D-распределение эффективного магнитного поля следующего вида:

$$h_x(\mathbf{r}) = h_0 [\cos(\mathbf{K}_1 \mathbf{r}) + \sin(\mathbf{K}_2 \mathbf{r}) + \cos(\mathbf{K}_3 \mathbf{r})],$$

$$h_v(\mathbf{r}) = h_0 [\sin(\mathbf{K}_1 \mathbf{r}) + \cos(\mathbf{K}_2 \mathbf{r}) + \sin(\mathbf{K}_3 \mathbf{r})], \quad (6)$$

где \mathbf{K}_i — вектора обратной решетки, \mathbf{r} — радиус-вектор прямой решетки. Распределение (6) показано на рис. 3. Хорошо видно, что оно имеет 120° -ю структуру. Можно показать, что результаты расчета в приближении почти свободных электронов качественно не зависят от

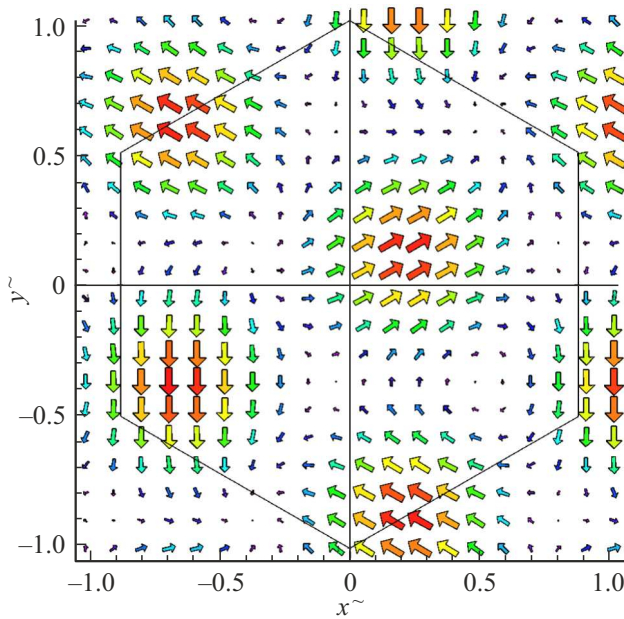


Рис. 3. Модельное распределение эффективного магнитного поля (6), соответствующее 120°-упорядочению.

конкретной формы потенциала, а определяются его симметрией [23]. Систему, уравнений описывающих зонную структуру в приближении почти свободных электронов, можно представить в виде [24]:

$$[E - (\mathbf{k} - \mathbf{K}_i)^2]c_{\mathbf{k}-\mathbf{K}_i,\alpha} = \sum_{j=1}^m \hat{U}_{\mathbf{K}_j-\mathbf{K}_i,\alpha\beta} c_{\mathbf{k}-\mathbf{K}_i,\beta}, \quad (7)$$

где $c_{\mathbf{k}-\mathbf{K}_i,\beta}$ — коэффициент в разложении блоховской функции. В отличие от выражения в книге [24], здесь дополнительно введены спиновые индексы α, β , и фурье-компоненты потенциала $\hat{U}_{\mathbf{K}_j,\alpha\beta}$ содержат недиагональные по спину компоненты. Минимальная 2D-модель для описания гексагонального слоя должна содержать два слагаемых в сумме (7), поскольку в углах гексагональной зоны Бриллюэна приходится учитывать слагаемые для двух брэгговских плоскостей.

В работе [23] показано, что в случае геликоидального магнитного поля операторы

$$\hat{U}_{\mathbf{K}} = \frac{1}{v} \int_{Bz} \exp(-i\mathbf{K}\mathbf{r}) \hat{h}(\mathbf{r}) d\mathbf{r} \quad (8)$$

не являются нормальными, т.е. $\hat{U}_{\mathbf{K}}\hat{U}_{\mathbf{K}}^\dagger \neq \hat{U}_{\mathbf{K}}^\dagger\hat{U}_{\mathbf{K}}$ или $\hat{U}_{\mathbf{K}}\hat{U}_{-\mathbf{K}} \neq \hat{U}_{-\mathbf{K}}\hat{U}_{\mathbf{K}}$. Здесь интегрирование выполняется по зоне Бриллюэна. Это и приводит к дисперсионной зависимости вида (4).

Результаты расчета зонной структуры гексагонального слоя в приближении почти свободных электронов с эффективным полем (6) при $h_0 = 2$ показаны на рис. 4. Если уровень Ферми попадает в область энергий между линиями 1 и 2, то формируется большая γ -орбита

и „карманы“ в области K-точки, как это наблюдается в PdCrO₂ ниже температуры Кюри [25]. В случае, когда он попадает в область между линиями 1 и 2, формируется только большая γ -орбита (см. рис. 5). На ней чередуются участки с преимущественно противоположными направлениям спина.

Электронная структура 2D-модели имеет сходные черты с одномерной моделью, рассмотренной выше. В пределах магнитной зоны Бриллюэна периодическими являются не дисперсионные поверхности по отдельности, а вся зонная структура в целом. Дисперсионные кривые периодичны в расширенной магнитной зоне Бриллюэна. При изображении дисперсионных поверхностей на торе (периодические условия для 2D-решетки) они оказываются самопересекающимися. Если для одномерной цепочки пересечения были в точках (рис. 2, a), то для

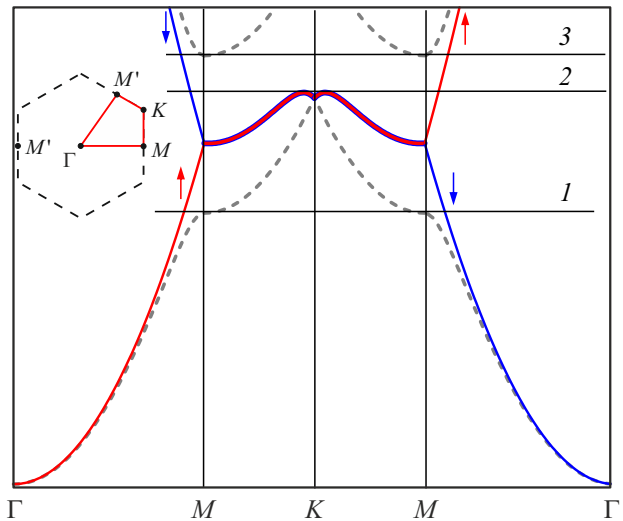


Рис. 4. Расчетная зонная структура 2D-модели вдоль пути, показанного на вставке цветом.

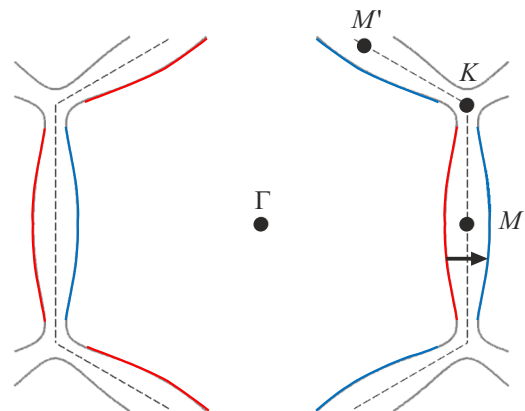


Рис. 5. Поверхность Ферми для случая, когда уровень Ферми попадает между уровнями 1 и 2 на рис. 4. Цветом показаны состояния спина с преимущественно противоположными направлениями. Серым показаны участки, где происходит сильное перемешивание спиновых состояний ($\langle S \rangle < 1/4$).

2D-системы пересечения поверхностей в общем случае происходят вдоль линий. Пример самопересекающейся поверхности на торе показан на рис. 2, *b*.

6. Особенности транспортных свойств в PdCrO₂

В работе [23] качественно обсуждались транспортные свойства одномерных и двумерных систем в геликоидальном магнитном поле. Для цепочки на рис. 1 можно видеть, что, когда уровень Ферми попадает в диапазон энергий от -1.4 до -0.6 , транспортные свойства необычны. Здесь уровень Ферми пересекают только две ветви с противоположными спинами. Поэтому может возникать незатухающий спиновый ток. Для корректного описания этого явления необходимо учитывать границы образца. Во-вторых, рассеяние назад без переворота спина запрещено. Это во многом похоже на свойства краевых состояний в топологических изоляторах [20]. Следует отметить, что данные свойства имеют довольно общий характер, поскольку не зависят от использованной модели: в работе [21] использовался 1D-вариант приближения почти свободных электронов, а в настоящей работе — приближение сильной связи.

На рис. 5 показана поверхность Ферми, вычисленная при тех же параметрах, что для рис. 4, для случая уровня Ферми, лежащего между линиями 1 и 2 на рис. 4. В этом случае имеется только γ -орбита поверхности Ферми. При низких температурах фононная составляющая электрического сопротивления определяется процессами переброса [26]. Однако переброс при рассеянии электронов на фонах на прилегающих дугах, как показано стрелкой на рис. 5, запрещен, поскольку начальное и конечное состояние имеют противоположный спин. Этот запрет не является полным, так как вблизи углов (точка К) происходит перемешивание спиновых состояний (помечено серым цветом), и в этих областях процессы переброса разрешены. Тем не менее, как показано в [23], фононное сопротивление может понизиться примерно на порядок для PdCrO₂. Рассеяние на немагнитных примесях также должно быть частично подавлено за счет частичного запрета рассеяния назад, опять же по причине противоположных спинов начального и конечного состояния электрона.

7. Заключение

Показано, что зоны в геликоидальной системе топологически нетривиальны. Примером двумерной системы с почти свободными электронами, находящимися являются плоскости палладия в PdCrO₂, которые находятся под действием 120°-го эффективного поля, создаваемого ионами хрома в прослойках CrO₂. Остальные металлические дельтафосфиты (PdCoO₂, PtCoO₂) хоть и не имеют

дальнего магнитного порядка, но демонстрируют признаки сильного ближнего магнитного порядка в широком диапазоне температур [27]. Поэтому предложенный механизм высокой проводимости может быть расширен и на эти соединения.

Финансирование работы

Работа выполнена при поддержке Национального центра физики и математики (Направление № 7 „Исследования в сильных и сверхсильных магнитных полях“).

Конфликт интересов

Автор заявляет об отсутствии конфликта интересов.

Список литературы

- [1] T.T.A. Lummen, C. Strohm, H. Rakoto, P.H.M. Loosdrecht. *Phys. Rev. B* **81**, 22, 224420 (2010).
- [2] T. Arima. *J. Phys. Soc. Jpn.* **76**, 7, 073702 (2007).
- [3] A.P. Mackenzie. *Rep. Prog. Phys.* **80**, 3, 032501 (2017).
- [4] V. Eyert, R. Fresard, A. Maignan. *Chem. Mater.* **20**, 6, 2370 (2008).
- [5] F. Lechermann. *Phys. Rev. Mater.* **2**, 8, 085004 (2018).
- [6] T. Scaffidi, N. Nandi, B. Schmidt, A.P. Mackenzie, J.E. Moore. *Phys. Rev. Lett.* **118**, 22, 226601 (2017).
- [7] H. Usui, M. Ochi, S. Kitamura, T. Oka, D. Ogura, H. Rosner, M.W. Haverkort, V. Sunko, P.D.C. King, A.P. Mackenzie, K. Kuroki. *Phys. Rev. Mater.* **3**, 4, 045002 (2019).
- [8] K.P. Ong, J. Zhang, J.S. Tse, P. Wu. *Phys. Rev. B* **81**, 11, 115120 (2010).
- [9] H. Takatsu, G. Nenert, H. Kadowaki, H. Yoshizawa, M. Enderle, S. Yonezawa, Y. Maeno, J. Kim, N. Tsuji, M. Takata, Y. Zhao, M. Green, C. Broholm. *Phys. Rev. B* **89**, 10, 104408 (2014).
- [10] H. Takatsu, S. Yonezawa, S. Fujimoto, Y. Maeno. *Phys. Rev. Lett.* **105**, 13, 137201 (2010).
- [11] S. Arsenijevic, J.M. Ok, P. Robinson, S. Ghannadzadeh, M.I. Katsnelson, J.S. Kim, N.E. Hussey. *Phys. Rev. Lett.* **116**, 8, 087202 (2016).
- [12] M. Calvo. *Phys. Rev. B* **18**, 9, 5073 (1978).
- [13] M. Calvo. *Phys. Rev. B* **19**, 11, 5507 (1979).
- [14] Э.Л. Нагаев. *Физика магнитных полупроводников*. Наука, М. (1979).
- [15] H. Watanabe, K. Hoshi, J. Ohe. *Phys. Rev. B* **94**, 12, 125143 (2016).
- [16] N. Jiang, Y. Nii, H. Arisawa, E. Saitoh, Y. Onose. *Nature Commun.* **11**, 1601 (2020).
- [17] J. Kishine, A.S. Ovchinnikov. *Theory of Monoaxial Chiral Helimagnet*. In: *Solid State Physics*. Book ser. (2015). V. 66. P. 1.
- [18] W. Brinkman, R.J. Elliott. *Proc. Roy. Soc. A* **294**, 1438, 343 (1966).
- [19] L.M. Sandratskii. *Phys. Status Solidi B* **135**, 1, 167 (1986).
- [20] M.Z. Hasan, C.L. Kane. *Rev. Mod. Phys.* **82**, 4, 3045 (2010).
- [21] J. Cayssol, J.N. Fuchs. *J. Phys. Mater.* **4**, 3, 034007 (2021).

- [22] Е. Вигнер. Теория групп и ее приложение к квантовомеханической теории атомных спектров. ИЛ, М. (1961).
- [23] Ю.Б. Кудасов. Письма в ЖЭТФ **113**, 3, 168 (2021). [Yu.B. Kudasov, JETP Lett. **113**, 3, 155 (2021).]
- [24] Н. Ашкрофт, Н. Мермин. Физика твердого тела. Мир, М. (1979). Т. 1. [N.W. Ashcroft, N.D. Mermin. Solid State Physics. Cengage Learning (1976).]
- [25] C.W. Hicks, A.S. Gibbs, A.P. Mackenzie, H. Takatsu, Y. Maeno, E.A. Yelland. Phys. Rev. Lett. **109**, 11, 116401 (2012).
- [26] Дж. Займан. Электроны и фононы. ИЛ, М. (1962). [J.M. Ziman. Electrons and Phonons. Clarendon Press (1960).]
- [27] T. Harada, K. Sugawara, K. Fujiwara, M. Kitamura, S. Ito, T. Nojima, K. Horiba, H. Kumigashira, T. Takahashi, T. Sato, A. Tsukazaki. Phys. Rev. Res. **2**, 1, 013282 (2020).

Редактор Е.В. Толстякова